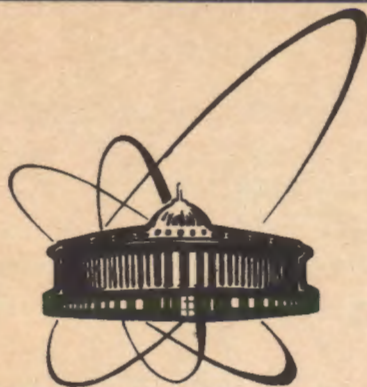


91-521



сообщения  
объединенного  
института  
ядерных  
исследований  
дубна

P3-91-521

Л. В. Мицына, Г. С. Самосват

О ПОЛУЧЕНИИ ПОЛЯРИЗУЕМОСТИ НЕЙТРОНА  
ИЗ ИНТЕГРАЛЬНОГО СЕЧЕНИЯ РАССЕЯНИЯ

1991

Несмотря на появившийся недавно значимый экспериментальный результат для коэффициента электрической поляризуемости нейтрона  $\alpha_n = (1,20 \pm 0,15 \pm 0,20) \cdot 10^{-42} \text{ см}^3$  [1], проблема не может считаться решённой, поскольку в этой работе, как и во всех предыдущих, эффект поляризуемости проявлялся в виде ничтожной добавки к мощным ядерным эффектам, точно учесть которые — непростая задача. Об этом свидетельствуют и существенные разногласия между авторами работ [2-4], анализу и исправлению ошибок которых посвящена настоящая работа.

1. Начнём с того, что выпишем полное выражение для интегрального сечения рассеяния нейтронов ядрами  $\sigma_s$  при энергиях до 1-2 кэВ, когда вкладом р-рассеяния можно пренебречь. Так как

$$\sigma_s = 4\pi(g_+ |f_+|^2 + g_- |f_-|^2), \quad f_{\pm} = \frac{i}{2k} (1 - S_{\pm}),$$

где  $g_{\pm}$  — спиновые статистические факторы,  $k$  — волновое число нейтрона, то, воспользовавшись выражением для элемента S-матрицы

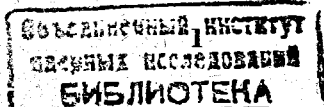
$$S_{\pm} = e^{2i\delta} \left( 1 - \sum^{\pm} \frac{i\Gamma_n}{E - E_0 + i\Gamma/2} \right), \quad (1)$$

получим искомое сечение:

$$\sigma_s = \frac{\pi}{k^2} \left\{ g_+ \left[ (\sin 2\delta - \Sigma_1^+ \cos 2\delta - \Sigma_2^+ \sin 2\delta)^2 + (2 \sin^2 \delta - \Sigma_1^+ \sin 2\delta + \Sigma_2^+ \cos 2\delta)^2 \right] + g_- \left[ (\sin 2\delta - \Sigma_1^- \cos 2\delta - \Sigma_2^- \sin 2\delta)^2 + (2 \sin^2 \delta - \Sigma_1^- \sin 2\delta + \Sigma_2^- \cos 2\delta)^2 \right] \right\} = \quad (2)$$

$$= \frac{\pi}{k^2} (4 \sin^2 \delta - 2 \Sigma_1 \sin 2\delta - 4 \Sigma_2 \sin^2 \delta + \Sigma_3 + 2 \Sigma_4). \quad (3)$$

В этих выражениях  $\delta$  — сдвиг фазы потенциального рассеяния, буквой  $\Sigma$  обозначены суммы резонансных членов, а  $E, E_0, \Gamma_n$  и  $\Gamma$  — соответственно текущая и резонансная энергии, нейтронная и полная ширины резонансов. Суммы по резонансам берутся отдельно для каждого спина и имеют вид:



$$\Sigma_1^{+-} = \sum \frac{\Gamma_n(E-E_0)}{(E-E_0)^2 + \Gamma^2/4}, \quad \Sigma_2^{+-} = \sum \frac{\Gamma_n \Gamma/2}{(E-E_0)^2 + \Gamma^2/4} \quad (4)$$

$$\Sigma_3^{+-} = \sum \frac{\Gamma_n^2}{(E-E_0)^2 + \Gamma^2/4} \quad (5)$$

$$\Sigma_4^{+-} = \sum_{i < j} \frac{\Gamma_n^i \Gamma_n^j [(E-E_0^i)(E-E_0^j) + \Gamma_i \Gamma_j/4]}{[(E-E_0^i)^2 + \Gamma_i^2/4][(E-E_0^j)^2 + \Gamma_j^2/4]}$$

причем в (3)

$$\Sigma_k = g_+ \Sigma_k^+ + g_- \Sigma_k^-$$

для всех  $k=1 \div 4$ . Следует прокомментировать структуру выражений (2) и (3). В первых круглых скобках (2) стоит умноженная на  $2k$  реальная часть амплитуды рассеяния  $2k \operatorname{Re} f$ , а во вторых скобках — мнимая часть  $2k \operatorname{Im} f$ . Члены (3) с  $\Sigma_1$  и  $\Sigma_2$  обязаны интерференции резонансов с потенциальным рассеянием,  $\Sigma_3$  — чисто резонансное рассеяние, двойная сумма  $\Sigma_4$  описывает интерференцию между отдельными резонансами с одинаковыми спинами.

2. Сравнительно небольшая ошибка, допущенная в работах [2], состоит в том, что авторы игнорируют мнимую часть амплитуды рассеяния, неверно полагая её ответственной только за поглощение нейтронов, а во втором и третьем слагаемых реальной части полагают  $\cos 2\delta=1$  и  $\sin 2\delta=0$ . Вместе с тем, совершая "обратную" ошибку, потенциальную часть  $\operatorname{Re} f$  они берут в виде  $\sin \delta/k$  вместо  $\sin 2\delta/2k$ , как должно быть. В результате в "их" сечении  $\sigma_s^{[2]}$  появляется правильный член потенциального рассеяния  $4\pi \sin^2 \delta/k^2$ .

Ошибка в работах [3], обнаруженная авторами [4], заключается в том, что в их полном сечении  $\sigma_t^{[3]}$  потеряны члены межрезонансной интерференции, а в когерентном сечении, с которым авторы [3] сравнивают своё  $\sigma_t^{[3]}$ , они присутствуют.

Ошибка авторов [4] в том, что они не заметили "обратной" ошибки в работах [2] и в вариантах своих расчетов "с учетом мнимой части" в своём  $\sigma_s^{[4]}$  имели фактически удвоенный квадрат мнимой части амплитуды.

3. Применяемые нами выражения (2) и (3) для сечения

рассеяния  $\sigma_s$  покоятся на записи элемента S-матрицы в виде (1). Во второй из работ [4] обращено внимание на неточность этой записи по причине того, что она приводит к потере членов межрезонансной интерференции в полном сечении взаимодействия, если его получить по оптической теореме из амплитуды рассеяния, соответствующей матрице рассеяния в виде [1]. Согласно утверждению авторов [4], к амплитуде рассеяния, полученной на основе (1), надо добавить двойную сумму по резонансам одного спина

$$\Delta f = 2ik \sum_{i < j} f_i^{\text{рез}} f_j^{\text{рез}}, \quad f_i^{\text{рез}} = \frac{-\Gamma_n}{2k(E-E_0 + i\Gamma/2)}$$

Если это сделать, то, применяя оптическую теорему к получаемой таким образом добавке к мнимой части амплитуды, получим добавку к полному сечению

$$\Delta \sigma_s = \frac{2\pi}{k^2} \sum_{i < j} \frac{\Gamma_n^i \Gamma_n^j [(E-E_0^i)(E-E_0^j) - \Gamma_i \Gamma_j/4]}{[(E-E_0^i)^2 + \Gamma_i^2/4][(E-E_0^j)^2 + \Gamma_j^2/4]}$$

Сравнивая это с последним слагаемым (3) с учётом (5), находим, что они различаются только знаком вторых членов в суммах. Для резонансов, находящихся вдали от точки наблюдения, это различие совершенно несущественно, что и имеет место в экспериментах [2,3,6]. Хотя, в принципе, по крайней мере один из этих двух способов учёта межрезонансной интерференции неточен.

4. Приведем теперь некоторые количественные данные об указанных выше ошибках и проиллюстрируем их влияние на извлекаемые из эксперимента значения поляризуемости  $\alpha_n$ .

В табл.1 даны результаты расчетов всех рассмотренных здесь вариантов сечений для двух ядер при трёх энергиях нейтронов. "Правильное" сечение  $\sigma_s$  рассчитывалось по формуле (2) с  $\delta = -kR'$  и использованием параметров всех резонансов из [5]. Все неядерные эффекты отдельно не учитывались. В соответствии со сказанным в пункте 2 "ошибочные" сечения рассчитывались по формулам:

$$\sigma_s^{[2]} = \frac{\pi}{k^2} [g_+(2\sin \delta - \Sigma_1^+)^2 + g_-(2\sin \delta - \Sigma_1^-)^2], \quad \text{где}$$

$$\sigma_s^{[3]} = \sigma_s - \frac{2\pi}{k} \Sigma_4$$

$$\sigma_s^{[4]} = \sigma_s^{[2]} + 4\pi k^2 (R')^4$$

числа в последнем столбце таблицы

$$\Delta\sigma_s^{pol} = \frac{8}{3} \pi^2 \alpha_n^2 M_n \left( \frac{Ze}{h} \right)^2 R' k$$

представляют собой главную часть разности вкладов в полное сечение, вносимых поляризуемостью нейтрона при данной и нулевой энергиях в предположении  $\alpha_n = 1 \cdot 10^{-42} \text{ см}^3$ \*) и  $R' = 9,8 \text{ фм}$  для  $^{208}\text{Pb}$  и  $9,3 \text{ фм}$  для  $^{207}\text{Pb}$ .

Так как  $\sigma_s$  из-за  $\alpha_n > 0$  растёт с энергией, легко видеть, что использование вместо  $\sigma_s$  сечений  $\sigma_s^{[2]}$  и  $\sigma_s^{[3]}$  приведёт к завышению  $\alpha_n$ , а  $\sigma_s^{[4]}$  - к его занижению. Так, если определять  $\alpha_n$  по только одной разности сечений  $^{208}\text{Pb}$  при  $E=1970$  и  $1,26 \text{ эВ}$  (т.е. (n-e)-взаимодействие считать известным), то в случае  $\sigma_s^{[4]}$  занижение  $\alpha_n$  составит  $(105,0-0,1)/(5,8-0,1) \approx 18$ ;  $\sigma_s^{[2]}$  завышает  $\alpha_n$  на  $4,1/(5,8-0,1) \approx 0,7$ , а  $\sigma_s^{[3]}$  завышает менее чем на  $0,1/(5,8-0,1) \approx 0,02$ . Подтверждением первого из этих предсказаний (качественного, конечно) могут служить варианты подгонки в первой из работ [4]: переоценка авторами мнимой части амплитуды меняет их  $\alpha_n^{[4]} = -\alpha_n$  с -8 до 10 для Pb и с 2 до 36 для Bi. Второе предсказание будет подтверждено ниже, а третье пока подтверждать не требуется.

Сейчас мы вправе предложить свой способ извлечения коэффициента  $\alpha_n$  и амплитуды (n-e)-взаимодействия  $a_{ne} = \frac{A}{A+1} b_{ne}$  ( $b_{ne}$  - длина взаимодействия) из  $\sigma_s$ , который уточняет предыдущие [2-4]\*\*) и должен хорошо работать, когда рассеиватель содержит атомы преимущественно одного изотопа. Главное его требование заключается в том, что учёт примесных атомов и всех резонансных эффектов должен производиться в сечениях\*\*\*) и только после получения чисто потенциального сечения можно переходить к амплитудам рассеяния.

\*) Ниже для  $\alpha$  всюду используются единицы  $10^{-42} \text{ см}^3$ .

\*\*\*) Метода из работы [1] мы здесь не касаемся.

\*\*\*) В этом он сродни методу [3].

Итак, экспериментальное сечение  $\sigma_s^{эксп}$ , освобождённое от захвата, швингеровского рассеяния и твердотельных эффектов (но не некогерентного рассеяния,  $\sigma_s$  по (2) и (3) его содержит!), следует сначала освободить от вклада примесных атомов и получить

$$\sigma_s^0 = \frac{1}{\rho_0} \left( \sigma_s^{эксп} - \sum \rho_i \sigma_s^i \right), \quad (6)$$

где веса удовлетворяют условию  $\rho_0 + \sum \rho_i = 1$ . В качестве  $\sigma_s^i$  надо взять выражение (2), подставив в него параметры всех известных резонансов и значение  $R'$ . Фазовый сдвиг полезно усложнить до

$$\delta = -k(R' - a_{ne} F - a_p q), \quad (7)$$

учтя в нем (n-e)-взаимодействие с атомным формфактором F и вклад поляризуемости с

$$a_p = \frac{\alpha_n M_n}{R} \left( \frac{Ze}{h} \right)^2, \quad q = \left[ 1 - \frac{\pi}{3} kR + \frac{1}{3} (kR)^2 - \frac{2}{135} (kR)^4 - \dots \right], \quad (8)$$

где  $M_n$  - масса нейтрона, R - радиус ядра. Затем, чтобы осталось чисто потенциальное сечение, из  $\sigma_s^0$  нужно вычесть все члены, связанные с резонансами, - все слагаемые (3), кроме первого; или иначе:

$$\sigma_{пот.} = \sigma_s^0 - (\sigma_s - 4\pi \sin^2 \delta / k^2), \quad (9)$$

где  $\sigma_s$  рассчитывается по (2).

Использованные до сих пор значения  $R'$  и R для всех ядер, а также  $a_{ne}$  и  $a_p$ , служили только для вычисления поправок на примеси и резонансы и поэтому, надо полагать, мало сказываются на окончательном результате (что, кстати, всегда можно проверить). В дальнейшем  $a_{ne}$ ,  $a_p$  и частично  $R'$  будут неизвестными, для нахождения которых можно написать

$$\sigma_{пот.} = \frac{4\pi}{k^2} \sin^2 \delta,$$

или с учетом (7)

$$a_{ne} F + a_p q = R' - \frac{1}{k} \arcsin(k \sqrt{\sigma_{пот.} / 4\pi}). \quad (10)$$

Это основное уравнение метода. Оно линейно по  $a_{ne}$ ,  $a_p$ ,  $R'$  и, так как коэффициенты при них по-разному зависят от k, позволяет по множеству экспериментально найденных  $\sigma_{пот.}$  определить все три

ТАБЛИЦА 1

Сравнение интегральных сечений рассеяния, рассчитываемых разными авторами

E, эВ	$\sigma_s, б$		$\sigma_s^{[2]} - \sigma_s, мб$		$\sigma_s^{[3]} - \sigma_s, мб$		$\sigma_s^{[4]} - \sigma_s, мб$		$\Delta\sigma_s^{pol}, мб$
	207 <sub>Pb</sub>	208 <sub>Pb</sub>	207 <sub>Pb</sub>	208 <sub>Pb</sub>	207 <sub>Pb</sub>	208 <sub>Pb</sub>	207 <sub>Pb</sub>	208 <sub>Pb</sub>	
1,26	10,3289	11,1168	0,0	0,0	23,0	-5,1	0,1	0,1	0,1
1970	10,2345	11,0828	-2,0	-4,1	20,7	-5,1	86,5	105,0	5,8
24000	8,9947	10,7085	-68,3	-51,0	-4,4	-5,4	1010	1279	20,4

ТАБЛИЦА 2

Результаты вычисления  $\alpha_n$

№	$\alpha_n, 10^{-42} см^3$	Комментарий
1.	0,92±0,70	Обработка по методу [2], $R'_{208} = (9,8 \pm 0,3)$ фм.
2.	0,34±0,66	Обработка нашим методом, паспортный изотопсостав и $R'_{204} = 9,5$ , $R'_{206} = 9,46$ , $R'_{207} = 9,3$ , $R'_{208} = 9,8$ фм.
3.	0,39±0,66	То же, что и 2, но изотопсостав по независимому анализу.
4.	0,32±0,66	То же, что и 2, но все $R'$ , кроме $R'_{208}$ , уменьшены на 1 фм.
5.	0,39±0,66	То же, что и 2, но все $R'$ , кроме $R'_{208}$ , увеличены на 1 фм.
6.	0,39±0,66	То же, что и 2, но $R'_{208} = 9,4$ фм.
7.	0,25±0,66	То же, что и 2, но $R'_{208} = 10,2$ фм.
8.	0,62±0,66	То же, что и 2, но отрицательный резонанс из табл. 3 у $^{206}Pb$ .
9.	1.32±0,66	То же, что и 2, но отрицательный резонанс из табл. 3 у $^{208}Pb$ .

величины. Полезно, однако, как и в [2,3], воспользоваться измеренным при очень малых энергиях значением когерентной длины рассеяния  $b' = \frac{A+1}{A} a_{coh}$ . Если в  $a_{coh}$  учесть резонансы и определить

$$a_{пот.}(0) = a_{coh} + (g_+ \Sigma_1^+ + g_- \Sigma_1^-) / 2k,$$

где  $\Sigma_1^{\pm}$  вычисляется по (4) при  $E=0$ , а  $\Gamma_n/k$  - константа, то  $a_{пот.}(0)$  может быть представлено как

$$a_{пот.}(0) = -R' + a_{ne} Z + a_p.$$

Выражая отсюда  $R'$  и подставляя его в (10), получим уравнение с двумя неизвестными:

$$a_{ne}(Z-F) + a_p(1-q) = \frac{1}{k} \arcsin(k\sqrt{\sigma_{пот.}^2/4\pi}) + a_{пот.}(0). \quad (11)$$

Выпишем для сравнения основное уравнение (2) из второй работы [2], перейдя в нём от длин рассеяния на связанном ядре к амплитудам на свободном:

$$a_{ne} F + a_p q = \frac{1}{k} \frac{A}{A+1} \sin kR' - \sqrt{\sigma_s^2/4\pi} + \frac{1}{2k} \Sigma_1. \quad (12)$$

Оно эквивалентно уравнениям (9) и (10) (кроме небольшой перенормировки  $R'$  на  $A/(A+1)$ ) только при  $kR' \ll 1$ .

6. Имея целью обосновать адекватность нашего метода, рассмотрим несколько вариантов получения  $\alpha_n$  из пары экспериментальных значений сечения  $\sigma_s^{эксп.}$ , измеренных в работе [6] на обогащённом  $^{208}Pb$  при энергиях нейтронов 1,26 и 1970 эВ: 11,445±0,002 и 11,453±0,002 барн соответственно (ошибки уменьшены до реально достижимого для использованной методики уровня). Значения  $\alpha_n$ , представленные в табл. 2, находились из уравнений (12) (метод [2]) или (10) (наш метод) путём записи их для двух энергий и исключения  $R'$  как неизвестного в предположении его независимости от  $k$ . Величины же  $R'$  в таблице использованы только для вычисления поправок на изотопы, резонансы и синус в (12). Использовались также  $b_{ne} = (-1,32 \pm 0,04) \cdot 10^{-3}$  фм,  $\Delta F = 13,7 \pm 0,6$ ;  $R = 7,126$  фм и резонансная поправка  $\Delta b_R = 0,0021$  фм из работы [2].

Какие выводы следуют из таблицы? Во-первых, метод [2] действительно приводит к завышению  $\alpha_n$ , близкому к

ТАБЛИЦА 3

Предельные свойства отрицательных резонансов

$\Lambda$	$\Delta\sigma_\gamma$ , мб	$\Gamma_\gamma^{\text{мин}}$ , эВ	$\Delta R'$ , фм	$E_0$ , кэВ	$g\Gamma_n^0$ , эВ	$\Delta\Delta\sigma$ , мб	$\rho_1 \Delta\Delta\sigma$ , мб
204	140	0,1	1,5	-1,93	1,27	1750	< 0,4
206	21	0,2	1,46	-25	15,9	236	1,5
207	20	1,5	1,3	-172	97,6	35,5	0,7
208	0,06	0,1	0,631 (1,8)	-1900 (-5390)	527 (4240)	11,1	10,8

предсказанному выше. Во-вторых, неточность изотопсостава вряд ли может существенно повлиять на результат (в вариантах 2 и 3 содержание  $^{208}\text{Pb}$  97,3 и 97,0% соответственно). В-третьих, даже столь значительное изменение  $R'$  как  $\pm 1$  фм у всех примесных изотопов в одну сторону влияет на  $\alpha_n$  сравнительно мало. В-четвертых, более сильно, но вполне приемлемо, влияет на определение  $\alpha_n$  величина  $R'_{208}$ . Наконец, в-пятых, значение  $\alpha_n$  может оказаться заниженным на величину до единицы, если у ядер свинца имеются и не учитываются необычно сильные отрицательные резонансы, а  $R'$  аномально мало.

Последний вывод, однако, требует более подробного обоснования. Мы исходили из того, что предполагаемый отрицательный s-резонанс увеличивает сечение радиационного захвата в тепловой точке на величину  $\Delta\sigma_\gamma$ , равную удвоенной ошибке его экспериментального значения из [5] или части его (для  $^{206}\text{Pb}$ ) сверх вклада известных резонансов (см. второй столбец табл. 3). В результате мы имеем соотношение:

$$g\Gamma_n^0 \Gamma_\gamma = c_1 E_0^2$$

( $E_0 < |E_0|$ ,  $\Gamma_n < |E_0|$ ), где  $c_1$  - известная константа. Следующий шаг - выбор  $\Gamma_\gamma$ ; чем  $\Gamma_\gamma$  меньше, тем сильнее резонанс влияет на  $\sigma_s^i$ . В третьем столбце таблицы величины, либо вдесятеро меньше средних из [5], либо равные 0,1 эВ как пределу. Теперь имеем

$$g\Gamma_n^0 = c_2 E_0^2 \quad (13)$$

Достаточно сильный отрицательный резонанс увеличивает модуль амплитуды рассеяния более чем на 1 фм, а сечение на несколько барн. Поэтому, чтобы оставить их согласующимися с опытом [7,8],  $R'$  должно быть соответственно уменьшено. Мы допускаем для изотопов свинца уменьшение  $R'$  до 8 фм, т.е. уменьшение на  $\Delta R'$  из четвертого столбца табл. 3. Тогда точно такое же увеличение  $|f|$  за счет резонанса определяет ещё одну связь его параметров:

$$g\Gamma_n^0 = c_3 E_0 \quad (14)$$

Решения системы уравнений (13) и (14) помещены в пятом и шестом столбцах. Только для  $^{208}\text{Pb}$  такое решение (показано ниже в скобках) не подходит ввиду того, что энергия связи нейтрона

в  $^{209}\text{Pb}$  около 3,9 МэВ; так как первый уровень со спином  $\frac{1}{2}^+$  в этом ядре имеет энергию 2,0 МэВ, мы выбрали  $E_0 = -1,9$  МэВ и, согласно (13),  $g\Gamma_n^0 = 527$  эВ.

О влиянии отрицательного резонанса на сечение  $\sigma_s^i$ , следовательно, на вычисляемое  $\alpha_n$  можно судить по числам последнего столбца табл. 3:

$$\Delta\Delta\sigma = [\sigma'(1,26) - \sigma'(1970)] - [\sigma(1,26) - \sigma(1970)],$$

где штрихом помечены сечения, рассчитанные с добавлением отрицательного резонанса с параметрами из таблицы. Для примесных изотопов под  $\sigma$  подразумевается полное сечение  $\sigma_s^i$ , фигурирующее в (6), а для  $^{208}\text{Pb}$  - только поправка на резонанс  $\sigma_s - 4\pi \sin^2 \delta / k^2$ , используемая в (9).

Значения  $\alpha_n$  в вариантах 8 и 9 табл. 2 мы считаем предельными, и они очень маловероятны. Ведь для их реализации, кроме аномально малого  $R'$ , требуется, чтобы  $\Gamma_n^0$  было в 6 и более раз больше, а  $\Gamma_\gamma$  в 4 и более раз меньше средних значений. При этом  $\Gamma_n^0 = 527$  эВ у  $^{208}\text{Pb}$  составляет около четверти одночастичного предела Вигнера для ядра с радиусом 8 фм.

7. На основании всего вышесказанного нам представляется, что измерение полного сечения на  $^{208}\text{Pb}$  для нескольких групп квазимонохроматических нейтронов и обработка результатов предложенным в этой работе методом позволят получить  $\alpha_n$  способом, экспериментально и математически альтернативным способу, использованному в работе [1]. Но для успеха этого

эксперимента надо существенно увеличить энергию нейтронов. Так, только замена в рассмотренном выше примере сечения  $\sigma_s^{\text{эксп}}$  при энергии 1970 эВ на его значение при 24 кэВ с той же ошибкой 2 мб даст ошибку  $\alpha_n$ , равную 0,20, т.е. сразу выведет эксперимент по точности на уровень результата работы [1]. Кстати, эта ошибка 0,20 квадратично складывается из трёх компонент: 0,07, 0,10 и 0,16, соответствующих точностям использованных значений  $v_{ne}$ ,  $\Delta F$  и сечений. Заметим, что при энергиях нейтронов выше нескольких кэВ нужно будет учитывать вклад в полное сечение от р-взаимодействия, который для свинца может составлять несколько миллибарн. Возможно также, что придётся столкнуться с необходимостью учёта непостоянства  $R'$ , и это усложнит задачу.

Авторы выражают благодарность Ю. А. Александрову, В. Г. Николенко и А. Б. Попову за полезные дискуссии.

#### ЛИТЕРАТУРА

1. Schmiedmayer J. et al. Phys. Rev. Lett., 1991, v. 66, p. 1015.
2. Koester L. et al. Physica, 1986, v. 137B, p. 282;  
Z. Phys. A, 1988, v. 329, p. 229.
3. Александров Ю. А. ЯФ, 1983, т. 37, с. 253; т. 38, с. 1100;  
Александров Ю. А. и др. ЯФ, 1986, т. 44, с. 1384.
4. Николенко В. Г., Попов А. Б. ОИЯИ РЗ-90-568, Дубна, 1990;  
Nikolenko V. G., Popov A. B. JINR E4-91-106, Dubna, 1991.
5. Mughabghab S. F. et al. Neutron Cross Sections, v. 1,  
part B, Academic Press, 1984.
6. Alexandrov Yu. A. et al. JINR Rapid Com., No. 6(45)-90,  
p. 48, Dubna, 1990.
7. Koester L., Knopf K. Z. Phys. A, 1991, v. 338, p. 233.
8. McLane V. et al. Neutron Cross Sections, v. 2, Academic Press,  
1988.

Рукопись поступила в издательский отдел  
28 ноября 1991 года.